

Starkniederschlagshöhen und -spenden gemäß KOSTRA-DWD-2010R

Auswertungszeitraum von 1951 - 2010, Januar - Dezember

Rasterfeld: 66029

Zeile: 66

Spalte: 29

Seite: 1/2

| Dauerstufe D | Wiederkehrzeit T | | | | | | | | | | | | | | | | | | |
|--------------|------------------|------|------------|------|------------|------|------------|------|------------|------|------------|-------|------------|-------|------------|-------|------------|-------|------------|
| | 1 a | | 2 a | | 3 a | | 5 a | | 10 a | | 20 a | | 30 a | | 50 a | | 100 a | | |
| min | Std | mm | l / (s ha) | mm | l / (s ha) | mm | l / (s ha) | mm | l / (s ha) | mm | l / (s ha) | mm | l / (s ha) | mm | l / (s ha) | mm | l / (s ha) | mm | l / (s ha) |
| 5 | | 5,1 | 170,0 | 6,9 | 230,0 | 7,9 | 263,3 | 9,3 | 310,0 | 11,1 | 370,0 | 12,9 | 430,0 | 13,9 | 463,3 | 15,2 | 506,7 | 17,0 | 566,7 |
| 10 | | 8,1 | 135,0 | 10,6 | 176,7 | 12,1 | 201,7 | 13,9 | 231,7 | 16,4 | 273,3 | 18,9 | 315,0 | 20,3 | 338,3 | 22,2 | 370,0 | 24,6 | 410,0 |
| 15 | | 10,1 | 112,2 | 13,1 | 145,6 | 14,9 | 165,6 | 17,1 | 190,0 | 20,1 | 223,3 | 23,1 | 256,7 | 24,9 | 276,7 | 27,1 | 301,1 | 30,1 | 334,4 |
| 20 | | 11,5 | 95,8 | 15,0 | 125,0 | 17,0 | 141,7 | 19,5 | 162,5 | 23,0 | 191,7 | 26,4 | 220,0 | 28,4 | 236,7 | 31,0 | 258,3 | 34,4 | 286,7 |
| 30 | | 13,4 | 74,4 | 17,6 | 97,8 | 20,0 | 111,1 | 23,1 | 128,3 | 27,2 | 151,1 | 31,4 | 174,4 | 33,8 | 187,8 | 36,9 | 205,0 | 41,1 | 228,3 |
| 45 | | 15,0 | 55,6 | 20,1 | 74,4 | 23,0 | 85,2 | 26,7 | 98,9 | 31,8 | 117,8 | 36,8 | 136,3 | 39,7 | 147,0 | 43,5 | 161,1 | 48,5 | 179,6 |
| 60 | | 16,0 | 44,4 | 21,8 | 60,6 | 25,1 | 69,7 | 29,4 | 81,7 | 35,1 | 97,5 | 40,9 | 113,6 | 44,3 | 123,1 | 48,5 | 134,7 | 54,3 | 150,8 |
| 90 | | 18,0 | 33,3 | 23,9 | 44,3 | 27,3 | 50,6 | 31,7 | 58,7 | 37,6 | 69,6 | 43,5 | 80,6 | 46,9 | 86,9 | 51,2 | 94,8 | 57,1 | 105,7 |
| 120 | 2 | 19,5 | 27,1 | 25,5 | 35,4 | 29,0 | 40,3 | 33,4 | 46,4 | 39,4 | 54,7 | 45,4 | 63,1 | 48,9 | 67,9 | 53,3 | 74,0 | 59,3 | 82,4 |
| 180 | 3 | 21,9 | 20,3 | 28,0 | 25,9 | 31,6 | 29,3 | 36,1 | 33,4 | 42,3 | 39,2 | 48,4 | 44,8 | 52,0 | 48,1 | 56,5 | 52,3 | 62,6 | 58,0 |
| 240 | 4 | 23,8 | 16,5 | 30,0 | 20,8 | 33,6 | 23,3 | 38,2 | 26,5 | 44,5 | 30,9 | 50,7 | 35,2 | 54,3 | 37,7 | 58,9 | 40,9 | 65,2 | 45,3 |
| 360 | 6 | 26,7 | 12,4 | 33,0 | 15,3 | 36,8 | 17,0 | 41,5 | 19,2 | 47,9 | 22,2 | 54,2 | 25,1 | 58,0 | 26,9 | 62,7 | 29,0 | 69,0 | 31,9 |
| 540 | 9 | 29,9 | 9,2 | 36,5 | 11,3 | 40,3 | 12,4 | 45,1 | 13,9 | 51,6 | 15,9 | 58,1 | 17,9 | 61,9 | 19,1 | 66,8 | 20,6 | 73,3 | 22,6 |
| 720 | 12 | 32,5 | 7,5 | 39,1 | 9,1 | 43,0 | 10,0 | 47,9 | 11,1 | 54,5 | 12,6 | 61,2 | 14,2 | 65,0 | 15,0 | 69,9 | 16,2 | 76,5 | 17,7 |
| 1080 | 18 | 36,5 | 5,6 | 43,3 | 6,7 | 47,2 | 7,3 | 52,2 | 8,1 | 59,0 | 9,1 | 65,8 | 10,2 | 69,8 | 10,8 | 74,8 | 11,5 | 81,5 | 12,6 |
| 1440 | 24 | 39,6 | 4,6 | 46,5 | 5,4 | 50,5 | 5,8 | 55,6 | 6,4 | 62,5 | 7,2 | 69,4 | 8,0 | 73,4 | 8,5 | 78,5 | 9,1 | 85,4 | 9,9 |
| 2880 | 48 | 51,2 | 3,0 | 60,4 | 3,5 | 65,7 | 3,8 | 72,5 | 4,2 | 81,6 | 4,7 | 90,8 | 5,3 | 96,1 | 5,6 | 102,9 | 6,0 | 112,0 | 6,5 |
| 4320 | 72 | 59,5 | 2,3 | 70,0 | 2,7 | 76,1 | 2,9 | 83,8 | 3,2 | 94,3 | 3,6 | 104,8 | 4,0 | 110,9 | 4,3 | 118,6 | 4,6 | 129,1 | 5,0 |

Angaben in mm: Bemessungsniederschlagswerte h(n)

Angaben in l / (s ha): Regenspende R(n) mit $R(n) = h(n) \times 1,666667 / D[\text{min}]$

Toleranzbereiche:

+/- 10 % für $1 \text{ a} \leq T \leq 5 \text{ a}$

+/- 15 % für $5 \text{ a} < T \leq 50 \text{ a}$

+/- 20 % für $50 \text{ a} < T \leq 100 \text{ a}$

Datenbasis: KOSTRA-DWD-2010R des Deutschen Wetterdienstes. Die Regenspende wurde auf Basis des Bemessungsniederschlags zur jeweiligen Andauer berechnet.

Für die Richtigkeit und Aktualität der Angaben wird keine Gewähr übernommen. Erstellt 07/2022.

Starkniederschlagshöhen und -spenden gemäß KOSTRA-DWD-2010R

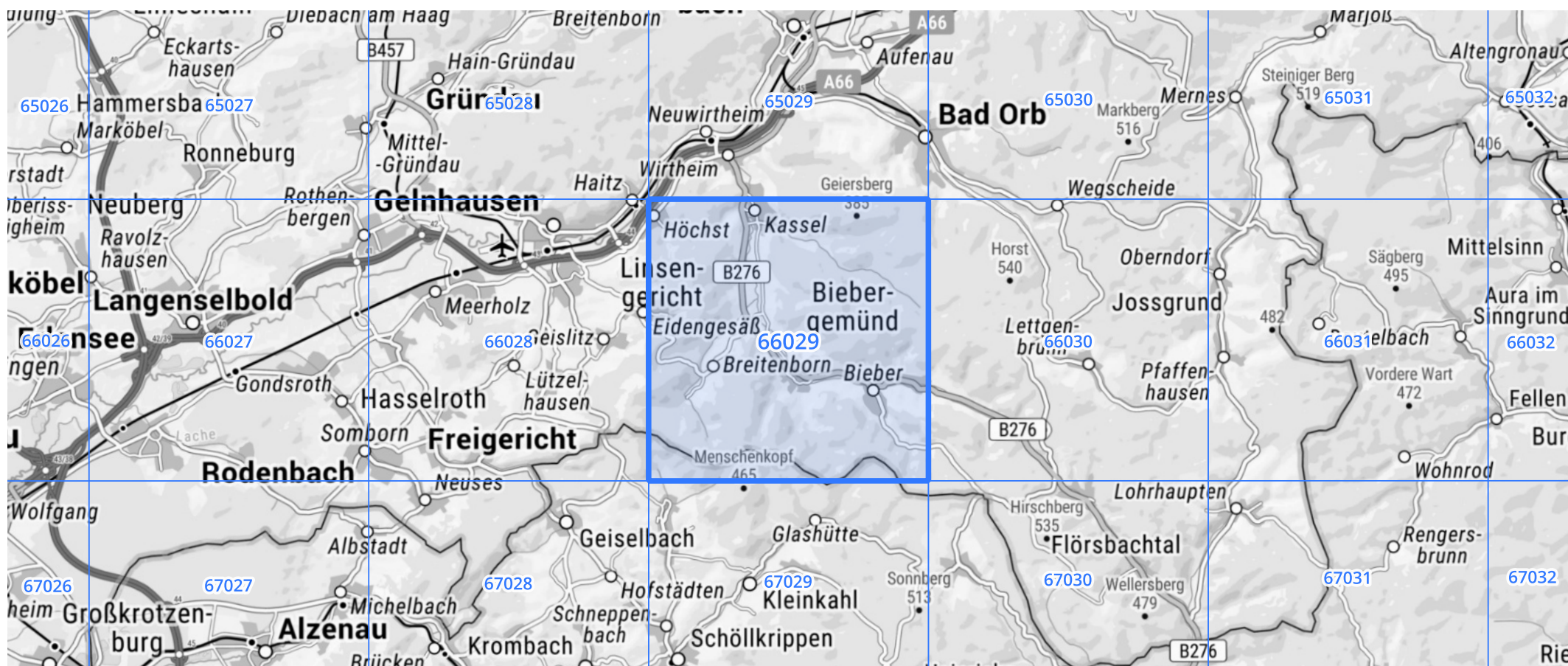
Auswertungszeitraum von 1951 - 2010, Januar - Dezember

Rasterfeld: 66029

Zeile: 66

Spalte: 29

Seite: 2/2



Quelle Rasterdaten: KOSTRA-DWD-2010R des Deutschen Wetterdienstes.

Kartendarstellung: © Bundesamt für Kartographie und Geodäsie (2022), Datenquellen: https://sgx.geodatenzentrum.de/web_public/gdz/datenquellen/Datenquellen_TopPlusOpen.html

Für die Richtigkeit und Aktualität der Angaben wird keine Gewähr übernommen. Erstellt 07/2022.